

Electrodinámica perturbativa

Algunos elementos

J. Stephany¹

¹Departamento de Física
Universidad Simón Bolívar
Caracas, Venezuela

LA-CoNGA, Módulo de Teoría, Clase 22



- 1 Aplicaciones
- 2 Reglas de substitución
- 3 Correcciones Radiativas



Sección de choque de Møller

Con $\alpha = \frac{e^2}{4\pi}$ vemos que la sección de choque de Møller es

$$\frac{d\sigma}{d\Omega} = \frac{\alpha^2(2E^2 - m^2)^2}{4E^2(E^2 - m^2)^2} \left[\frac{4}{\text{sen}^4 \theta} - \frac{3}{\text{sen}^2 \theta} + \frac{(E^2 - m^2)^2}{(2E^2 - m^2)^2} \left(1 + \frac{4}{\text{sen}^2 \theta} \right) \right]$$

En el limite relativista $E \rightarrow \infty$

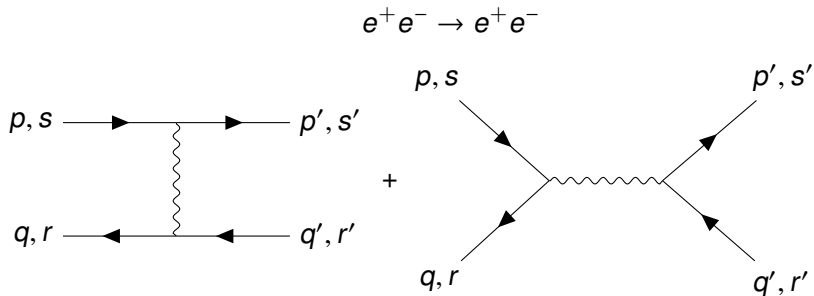
$$\frac{d\sigma}{d\Omega} = \frac{\alpha^2}{E^2} \left[\frac{4}{\text{sen}^4 \theta} - \frac{2}{\text{sen}^2 \theta} + \frac{1}{4} \right]$$

En el limite no relativista $E \rightarrow m$

$$\frac{d\sigma}{d\Omega} = \frac{\alpha^2 m^2}{4(E^2 - m^2)^2} \left[\frac{4}{\text{sen}^4 \theta} - \frac{3}{\text{sen}^2 \theta} \right] = \frac{\alpha^2 m^2}{p^2} \left[\frac{4}{\text{sen}^4 \theta} - \frac{3}{\text{sen}^2 \theta} \right]$$



Sección de choque de Bhabha



La amplitud

$$i\mathcal{M}_M = -i(-ie)^2 \left(- \frac{[\bar{u}(p', s') \gamma^\mu u(s, p)][\bar{v}(q, r) \gamma_\mu v(q', r')]}{(p - p')^2} + \frac{[\bar{v}(q, r) \gamma^\mu u(p, s)][\bar{u}(s', p') \gamma_\mu v(q', r')]}{(p + q)^2} \right).$$



Sección de choque de Bhabha

Por el mismo procedimiento la sección de choque en el límite de altas energías es

$$\frac{d\sigma}{d\Omega} = \frac{\alpha^2}{8E^2} \left(\frac{1 + \cos^4 \theta/2}{\sin^4 \theta/2} + \frac{1}{2}(1 + \cos^2 \theta) - 2 \frac{\cos^4 \theta/2}{\sin^2 \theta/2} \right)$$

En el límite no relativista

$$\frac{d\sigma}{d\Omega} = \frac{\alpha^2}{16E^2 \sin^4 \theta/2}$$

que corresponde a la sección de choque de Rutherford



Fermiones

Podemos considerar la interacción del campo electromagnético con otros fermiones. Por ejemplo muones, protones, etc.

Con un ligero cambio de notación tenemos

$$\begin{aligned}\mathcal{L} = & -\frac{1}{4}F^{\mu\nu}F_{\mu\nu} + \bar{\psi}_e(i\gamma^\mu D_\mu - m_e)\psi_e \\ & + \bar{\psi}_m(i\gamma^\mu D_\mu - m_m)\psi_m + \bar{\psi}_p(i\gamma^\mu D_\mu - m_p)\psi_p + \dots\end{aligned}$$

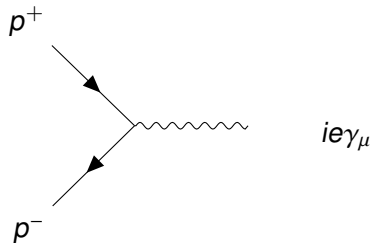
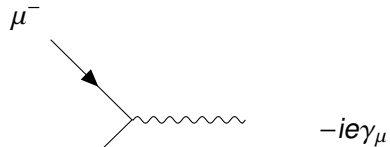
El hamiltoniano de interacción es ahora

$$H_I = e \int d^3x [\bar{\psi}_e \gamma^\mu A_\mu \psi_e + \bar{\psi}_m \gamma^\mu A_\mu \psi_m - \bar{\psi}_p \gamma^\mu A_\mu \psi_p + \dots]$$



vertices

Tenemos ahora vértices adicionales



Correcciones a la fórmula de Rutherford

Como $m_p \gg m_e$ podemos suponer a no muy altas energías ($E < m_p$) que el protón no se mueve. El sistema de centro de masas es el sistema de laboratorio donde los protones están en reposo. En ese límite se encuentra que,

$$\frac{d\sigma}{d\Omega} = \frac{\alpha^2}{4v^2|\mathbf{p}|^2 \sin^4 \theta/2} \left(1 - v^2 \sin^2 \theta/2\right), \quad v = \frac{|\mathbf{p}|}{E}$$

que se conoce como la fórmula de Mott. Para $|\mathbf{p}| \ll E$ se tiene

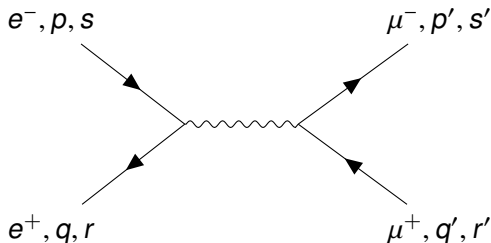
$$E \sim m_e, \quad v = \frac{|\mathbf{p}|}{m_e} \quad \frac{d\sigma}{d\Omega} = \frac{\alpha^2 m_e^2}{4|\mathbf{p}|^4 \sin^4 \theta/2}$$



Producción de muones

Como la siguiente ilustración consideremos ahora el proceso

$$e^+ e^- \rightarrow \mu^+ \mu^-$$



$$\overline{|\mathcal{M}|^2} =$$

$$\overline{|\mathcal{M}|^2} = \frac{e^4}{64m^4} \left\{ \frac{\text{Tr} \left[\gamma^\mu (\not{p} + m_e) \gamma^\nu (\not{q} - m_e) \right] \text{Tr} \left[\gamma_\mu (\not{q}' - m_m) \gamma_\nu (\not{p}' + m_m) \right]}{[(p - p')^2]^2} \right\}$$



Producción de muones

En este caso como las masas son diferentes los términos cinemáticos en la sección de choque son ligeramente diferentes y resulta,

$$\left(\frac{d\sigma}{d\Omega}\right)_{CM} = \frac{|\mathbf{p}'|}{32\pi^2 E_{CM}^3} |\overline{\mathcal{M}}_M|^2$$

La conservación de la energía garantiza que la sección de choque se anula para $E < m_m$. Calculando las trazas e introduciendo la parametrización de los momentos en términos del ángulo de scattering θ se encuentra ($m_e = 0$)

$$\frac{d\sigma}{d\Omega} = \frac{\alpha^2}{16E^2} \sqrt{1 - \frac{m_m^2}{E^2}} \left[\left(1 + \frac{m_m^2}{E^2}\right) + \left(1 - \frac{m_m^2}{E^2}\right) \cos^2 \theta \right]$$

Integrando ($E > m_\mu$)

$$\sigma = \frac{\pi\alpha^2}{3} \sqrt{1 - \frac{m_m^2}{E^2}} \left(1 + \frac{m_m^2}{2E^2}\right)$$

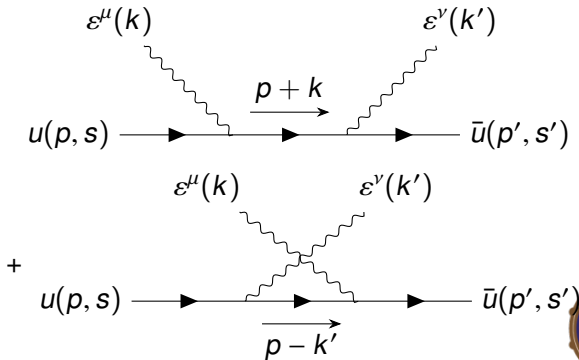


Scattering de Compton

Como última aplicación volvamos a QED y consideremos el scattering de fotones por electrones

$$\gamma e^- \rightarrow \gamma e^-.$$

Tenemos los diagramas



Scattering de Compton

Usando las reglas de Feynman queda la amplitud

$$i\mathcal{M} = -ie^2 \varepsilon_\mu^*(k) \varepsilon_\nu(k) \bar{u}(p', s') \left[\frac{\gamma^\mu (\not{p} + \not{k} + m) \gamma^\nu}{(p+k)^2 - m^2} + \frac{\gamma^\mu (\not{p} - \not{k}' + m) \gamma^\nu}{(p-k')^2 - m^2} \right] u(p, s)$$

- Se promedia sobre el espín del electrón
- Se promedia sobre las polarizaciones de los fotones con la regla

$$\sum_{\text{polarizaciones}} \varepsilon_\mu^*(k) \varepsilon_\nu(k) \rightarrow -\eta_{\mu\nu}$$

que dentro de las amplitudes se justifica por

- Conservación de la corriente
- Identidad de Ward-Takahashi



Scattering de Compton

La amplitud promediada es

$$|\overline{\mathcal{M}}_C|^2 = 2e^4 \left[\frac{p \cdot k'}{p \cdot k} + \frac{p \cdot k}{p \cdot k'} + 2m^2 \left(\frac{1}{p \cdot k} - \frac{1}{p \cdot k'} \right) + m^4 \left(\frac{1}{p \cdot k} - \frac{1}{p \cdot k'} \right)^2 \right]$$

El cálculo de la sección de choque se realiza en este caso en el sistema de laboratorio donde el electrón está en reposo. Llamando θ al ángulo de dispersión del fotón, por conservación del momentum se encuentra la relación de Compton

$$\frac{1}{\omega'} - \frac{1}{\omega} = \frac{1}{m} (1 - \cos \theta)$$

Para la sección de choque se halla,

$$\frac{d\sigma}{d \cos \theta} = \frac{\pi \alpha^2}{m^2} \left(\frac{\omega'}{\omega} \right)^2 \left[\frac{\omega'}{\omega} + \frac{\omega}{\omega'} - \sin^2 \theta \right]$$



Scattering de Compton

Para $\omega \rightarrow 0$, $\omega'/\omega \rightarrow 1$

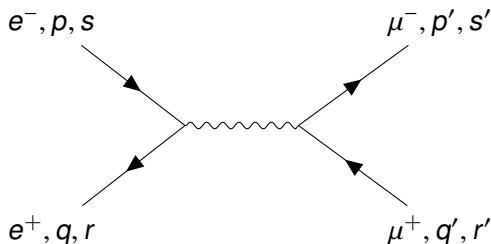
$$\frac{d\sigma}{d\cos\theta} = \frac{\pi\alpha^2}{m^2} [1 + \cos^2\theta]$$

$$\sigma = \frac{8\pi\alpha^2}{3m^2}$$

Esto último corresponde a la sección de scattering de Thomson de una onda plana en electromagnetismo clásico.



Crossing symmetry



Con la sustitución las variables de Mandelstam también cambian

$$s = (p + q)^2 \rightarrow (p - p')^2 = t \quad , \quad t = (p - p')^2 \rightarrow (p - q')^2 = u$$

$$u = (p - q')^2 \rightarrow (p + q)^2 = s$$



Crossing symmetry

En el límite de masa cero las correspondientes amplitudes son

$$e^- e^+ \rightarrow \mu^- \mu^+ \quad \overline{|M|^2} = \frac{8e^2}{s^2} \left[\left(\frac{t}{2} \right)^2 + \left(\frac{u}{2} \right)^2 \right]$$

$$e^- \mu^- \rightarrow e^- \mu^- \quad \overline{|M|^2} = \frac{8e^2}{t^2} \left[\left(\frac{s}{2} \right)^2 + \left(\frac{u}{2} \right)^2 \right]$$

En QED las reglas de substitución permiten relacionar

Scattering de Møller \rightarrow Scattering de Bhabha

Scattering de Compton \rightarrow Aniquilación de pares

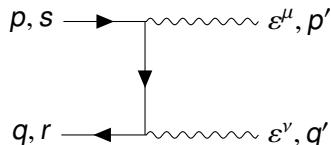


Aniquilación de pares

Para la aniquilación de pares

$$e^+ e^- \rightarrow \gamma \gamma.$$

tenemos el diagrama



Y la amplitud

$$i(-ie)^2 \left(\frac{[\bar{v}(q, r) \gamma^\nu (\not{p} - \not{p}' + m) \gamma^\mu u(p, s)]}{(p - p')^2 - m^2} \right) \varepsilon^\mu(p') \varepsilon^\nu(q').$$



Clase 13

Recap clase 12

Divergencias en $\lambda\phi^4$, $D = 4 - E$ grado de divergencia superficial

$$\begin{array}{l}
 D=2 \\
 E=2
 \end{array}
 \quad
 \begin{array}{c}
 \text{---} \textcircled{||} \text{---} \\
 \text{e.g. } \text{---} \textcircled{\cup} \text{---} \quad \text{---} \textcircled{\ominus} \text{---}
 \end{array}
 \sim \Lambda^2 + k^2 \log \Lambda
 \quad \Bigg| \quad
 \begin{array}{l}
 D=4 \\
 E=0
 \end{array}
 \quad
 \begin{array}{c}
 \text{---} \textcircled{\otimes} \text{---} \\
 \text{e.g. } \text{---} \textcircled{\times} \text{---} \quad \text{---} \textcircled{\times} \text{---}
 \end{array}
 \sim \log \Lambda$$

divergencias ocurren en funciones de correlación con términos a nivel árbol, i.e con términos en \mathcal{L}

$$G^{(2)} \quad \text{---} \quad \frac{1}{2} \partial_\mu \phi \partial^\mu \phi - \frac{\Lambda}{2} m^2 \phi^2$$

$$G^{(4)} \quad \text{---} \times \quad \frac{\lambda}{4!} \phi^4$$

señal que las divergencias se pueden absorber en renormalización de los coeficientes de \mathcal{L}

Clase 13

Renormalización

* amplitud $\phi\phi \rightarrow \phi\phi$

$$i\mathcal{M} = \text{tree} + \text{loop} + \text{self-energy} + \text{tadpole} + \mathcal{O}(\lambda^3)$$

$$i\mathcal{M} = -i\lambda + \frac{i\lambda^2}{32\pi^2} \left(\log \frac{\Lambda^2}{s} + \log \frac{\Lambda^2}{t} + \log \frac{\Lambda^2}{u} \right) + \mathcal{O}(\lambda^3)$$

$$i\mathcal{M} \Big|_{s_0, u_0, t_0} = -i\lambda_R$$

la amplitud define una constante de acoplamiento renormalizada o física

$\Rightarrow \lambda = \lambda_R + \frac{\lambda_R^2}{32\pi^2} \left(\log \frac{\Lambda^2}{s_0} + \log \frac{\Lambda^2}{t_0} + \log \frac{\Lambda^2}{u_0} \right) + \mathcal{O}(\lambda_R^3)$ y sustituyendo

$$i\mathcal{M} = -i\lambda_R + \frac{i\lambda_R^2}{32\pi^2} \left(\log \frac{s_0}{s} + \log \frac{t_0}{t} + \log \frac{u_0}{u} \right) + \mathcal{O}(\lambda_R^3)$$

finita, independiente de Λ

Clase 13

$$* \quad \mathcal{G}^{(2)} = \text{---} \overset{k}{\leftarrow} \text{---} + \text{---} \overset{k}{\leftarrow} \text{---} + \mathcal{O}(\lambda^2)$$

$$= \frac{i}{k^2 - m^2 + i\epsilon} + \frac{i}{k^2 - m^2 + i\epsilon} (i\lambda C_1 \Lambda^2) \frac{i}{k^2 - m^2 + i\epsilon} + \dots$$

$$= \frac{i}{k^2 - m^2 + \lambda_1 C_1 \Lambda^2 + i\epsilon} = \frac{i}{k^2 - m_R^2 + i\epsilon} \quad \text{polo en } k^2 = m_R^2$$

m_R^2 : masa renormalizada
o masa física

$$m_R^2 = m^2 - \lambda C_1 \Lambda^2$$

A orden λ^2 aparece $\text{---} \overset{k}{\leftarrow} \text{---}$ con divergencia $i\lambda^2 (C_2 \tilde{\Lambda}^2 + C_3 k^2 \log \frac{\Lambda^2}{m^2})$

Se absorbe en renormalización del campo

$$\phi_R = \sqrt{1 + C_3 \lambda^2 \log \frac{\Lambda^2}{m^2}} \phi$$

\downarrow
 $Z_2 \phi_R^2 \mu^2$

Al calcular las correcciones de orden superior a los procesos que discutimos anteriormente en Electrodinámica cuántica también aparecen cantidades divergentes asociadas a los diagramas con lazos las cuales requieren que la teoría sea renormalizada

- Se requiere renormalizar la masa del electrón
- Se requiere renormalizar el vértice de interacción
- Se requiere renormalizar la intensidad de campo



El propagador exacto de los fermiones

$$S(k) = \int d^4y e^{ik \cdot y} \langle \Omega | \psi(y) \bar{\psi}(0) | \Omega \rangle,$$

Definimos los diagramas irreducibles de una partícula como aquellos de dos líneas externas que no se pueden separar haciendo un único corte. En forma simbólica

$$\textcircled{1PI} = \Sigma(k)$$



Auto-energía del electron

El desarrollo propagador que es la suma de todos los diagramas puede reorganizarse en la forma

$$S(k) = \text{---} + \text{---} \textcircled{1P1} \text{---} + \text{---} \textcircled{1P1} \textcircled{1P1} \text{---} + \dots$$

$$\begin{aligned} S(k) &\sim \frac{1}{i\mathbf{k} + m} + \frac{1}{i\mathbf{k} + m} \Sigma(k) \frac{1}{i\mathbf{k} + m} \\ &+ \frac{1}{i\mathbf{k} + m} \Sigma(k) \frac{1}{i\mathbf{k} + m} \Sigma(k) \frac{1}{i\mathbf{k} + m} + \dots \\ &= \frac{1}{i\mathbf{k} + m - \Sigma(k)}. \end{aligned}$$

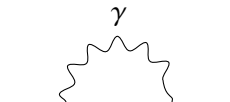


Auto-energía del electron

El polo del propagador corresponde a la masa física m (m_0 es el parámetro en el lagrangiano) y es la solución de la ecuación

$$[k - m_0 - \Sigma(k)]_{k=m} = 0$$

Hasta primer orden en α solo contribuye el diagrama



Este diagrama tiene una divergencia infrarroja por el propagador del fotón y una divergencia ultravioleta que hay que regularizar. El procedimiento es la generalización del discutido para la teoría escalar. Se encuentra

$$\delta m = m - m_0 \underset{\Lambda \rightarrow \infty}{=} \rightarrow \frac{3\alpha}{4\pi} \ln\left(\frac{\Lambda^2}{m_0^2}\right)$$



Propagador del fotón

Un tratamiento análogo nos lleva a calcular el propagador del fotón. En términos del propagador libre

$$D_{\mu\nu}(q) = \frac{1}{q^2} \left(\delta_{\mu\nu} - \frac{q_\mu q_\nu}{q^2} \right),$$

escribimos el propagador completo

$$\Delta_{\mu\nu}(q) = D_{\mu\nu}(q) + D_\mu^\rho(q) \Pi_\rho^\sigma(q) D_{\sigma\nu}(q) + D_\mu^\rho \Pi_\rho^\sigma D_\sigma^\lambda \Pi_\lambda^\kappa D_{\kappa\nu} + \dots,$$

con $\Pi_{\rho\sigma}(q)$ la autoenergía del fotón que se escribe en términos de los diagramas irreducibles de una partícula. Toma la forma

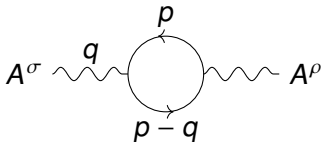
$$\Pi_\rho^\sigma(q) = q^2 \left(\delta_\rho^\sigma - \frac{q_\rho q^\sigma}{q^2} \right) \pi(q^2)$$

para una cierta función $\pi(q^2)$.



Propagador del fotón

El primer término no trivial de $\Pi_{\rho\sigma}(q)$ viene del gráfico



$$\Pi_{\rho\sigma}(q) = e^2 \int \frac{d^4 p}{(2\pi)^4} \text{Tr} \left(\frac{(-i\not{p} + m)\gamma^\rho}{p^2 + m^2} \frac{-i(\not{p} - \not{q} + m)\gamma^\sigma}{(p - q)^2 + m^2} \right)$$

Este gráfico es divergente y después de regularizarlo y renormalizarlo nos lleva al cálculo de $\pi(q)$



